## Courbes ROC dépendantes du temps et transplantation rénale

ITERT & INSERM U643

Journée des méthodologistes - 12 Mars 2009

#### Plan

- 1 Introduction
- 2 Capacité à pronostiquer le retour en dialyse
- 3 Capacité à pronostiquer le retour en dialyse et/ou le décès
- 4 Sélection de gènes pronostiques de la dégradation à partir de puces
- **5** Conclusions

#### Plan

- 1 Introduction
- 2 Capacité à pronostiquer le retour en dialyse
- 3 Capacité à pronostiquer le retour en dialyse et/ou le décès
- 4 Sélection de gènes pronostiques de la dégradation à partir de puces
- 6 Conclusions

### Contexte clinique (1)

#### Evolution des critères de jugements

- Amélioration du pronostic (pas de rejet aigu, chronique, etc.)
- Nécessité de marqueurs précoces du pronostic
- Aujourd'hui, la référence reste la biopsie précoce du greffon.
  - Problème : Acte couteux et invasif.
- Concentration de la communauté médicale sur la clairance à la créatinine (CrCl)
  - Très corrélée à la survie : Kaplan-Meier (Hariharan, Kidney int., 2002)
  - Mauvais marqueur pronostique : Courbes ROC (Kaplan, AJT, 2003)
- En pratique, de nombreuses études se basent sur la CrCl à 6 mois ou à 1 an.

### Contexte clinique (2)

## Intérêt des courbes ROC dépendantes du temps dans l'évaluation de marqueurs pronostiques

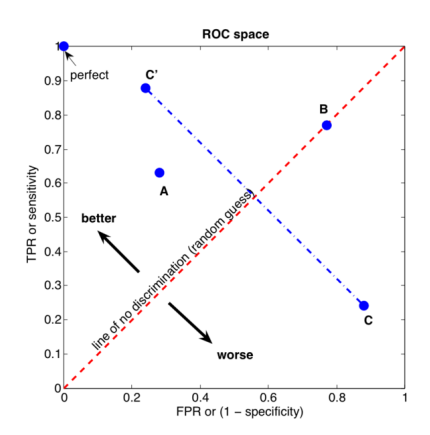
- 1 Capacité de la CrCl à pronostiquer le retour en dialyse (courbe ROC dépendante du temps "classique" (Heagerty et al., Biometrics, 2000).
- 2 Capacité d'un score à pronostiquer le retour en dialyse.
- 3 Capacité de la CrCl à pronostiquer le retour en dialyse et/ou le décès du patient (généralisation aux risques compétitifs).
- 4 Sélection des gènes pronostiques de la dégradation de la CrCl à partir de puces (prise en compte du problème de dimension et de la troncature)

#### Rappels relatifs aux courbes ROC (1)

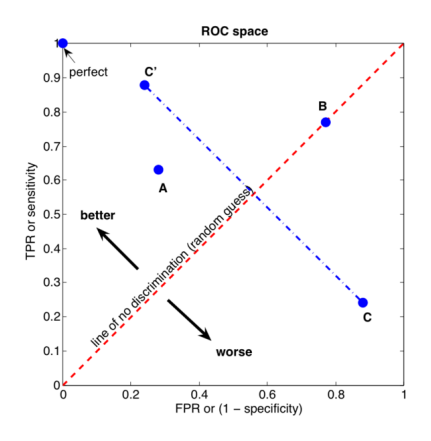
#### **Définitions**

- Soit X la valeur du marqueur diagnostique et D l'événement à prédire (D = 1 si malade et D = 0 sinon).
- Les patients sont à risque si X est supérieur à un seuil c.
  - Sensibilité : SE = P(X > c | D = 1).
  - Proportion de tests positifs chez les patients malades.
- Les patients ne sont pas à risque si X est inférieur à c.
  - Spécificité :  $SP = P(X \le c | D = 0)$ .
  - Proportion de tests négatifs chez les patients non-malades.
- Un test diagnostique parfait : SE = SP = 1.
- Courbes ROC : Pour tous les seuils c possibles, on calcul 1 – SP et SP.

### Rappels relatifs aux courbes ROC (2)



### Rappels relatifs aux courbes ROC (2)



#### Grille d'évaluation

- Si AUC = 0,5 : Aucune discrimination
- Si  $0.7 \le AUC < 0.8$ : Discrimination acceptable
- Si 0,8 ≤ AUC < 0,9 : Discrimination excellente
- Si AUC ≥ 0,9 : Discrimination hors du commun

#### Plan

- 1 Introduction
- 2 Capacité à pronostiquer le retour en dialyse
- 3 Capacité à pronostiquer le retour en dialyse et/ou le décès
- 4 Sélection de gènes pronostiques de la dégradation à partir de puces
- 6 Conclusions

#### Données

Construction du marqueur composite Courbes ROC temps-dépendantes Résultats

### Données (1)

#### Critères d'inclusions ---- 3040 patients

- Centres: Nantes (depuis 1996), Nancy (depuis 1998), Paris Necker (depuis 1996), Toulouse (depuis 2003) et Montpellier (depuis 2003).
- Uniquement les patients non retournés en dialyse, non décédés ou non perdus de vue dans la première année de greffe.
- Greffon issu de cadavre.
- Receveur âgé d'au moins 18 ans au moment de la transplantation.
- Aucune greffe de pancréas associée.



#### Données

Construction du marqueur composite Courbes ROC temps-dépendantes Résultats

### Données (2)

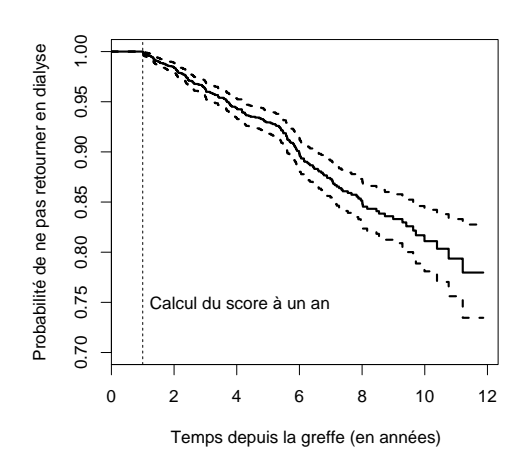
#### Evénement étudié

- Temps entre la greffe et le retour en dialyse.
- Décès = Censures à droite (perdus de vue).
- 230 retours en dialyse.

### Données (2)

#### Evénement étudié

- Temps entre la greffe et le retour en dialyse.
- Décès = Censures à droite (perdus de vue).
- 230 retours en dialyse.



#### Construction du marqueur composite

#### Utilisation du modèle de Cox multivarié

- Somme des produits entre variables explicatives et le logarithme des risques relatifs associés.
- Codage des variables pour le respect de l'hypothèse de loglinéarité du modèle de Cox.
  - Ex : Créatinine n'est pas loglinéaire.
- Seuil de significativité de 0,20 en univarié.
- Seuil de significativité de 0,15 en multivarié.
- Validation de l'hypothèse de proportionnalité.

### Courbes ROC temps-dépendantes (1)

- Soit T le temps d'apparition de l'événement étudié.
- Soit *X* le marqueur de substitution composite.

|              | ROC                      | ROC(t)                       |
|--------------|--------------------------|------------------------------|
| Sensibilité  | SE = P(X > c D = 1)      | $SE(t) = P(X > c   T \le t)$ |
| Sensibilité  | $SP = P(X \le c D=0)$    | $SP(t) = P(X \le c   T > t)$ |
| VP* Positive | VPP = P(D = 1 X > c)     | $VPP(t) = P(T \le t X > c)$  |
| VP* Négative | $VPN = P(D = 0 X \le c)$ | $VPN(t) = P(T > t X \le c)$  |

<sup>\*</sup> Valeur Prédictive

- $ROC(t) \longrightarrow AUC(t)$
- On a choisi t = 5 ou 10 ans.

#### Courbes ROC temps-dépendantes (2)

#### Exemple du calcul de la sensibilité

$$se(c,t) = P(X > c|D(t) = 1)$$

$$\downarrow$$

$$se(c,t) = P(T \le t|X > c)P(X > c)/P(T \le t)$$

$$\downarrow$$

$$se(c,t) = \{1 - S(t|X > c)\}P(X > c)/\{1 - S(t)\}$$

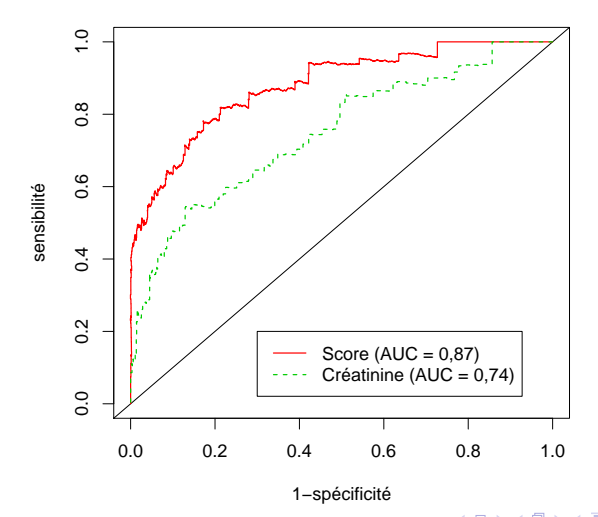
$$\downarrow$$

$$\rbrace \hat{se}_{KM}(c,t) = \{1 - \hat{S}_{KM}(t|X > c)\}\{1 - \hat{F}_{X}(c)\}/\{1 - \hat{S}_{KM}(t)\}$$

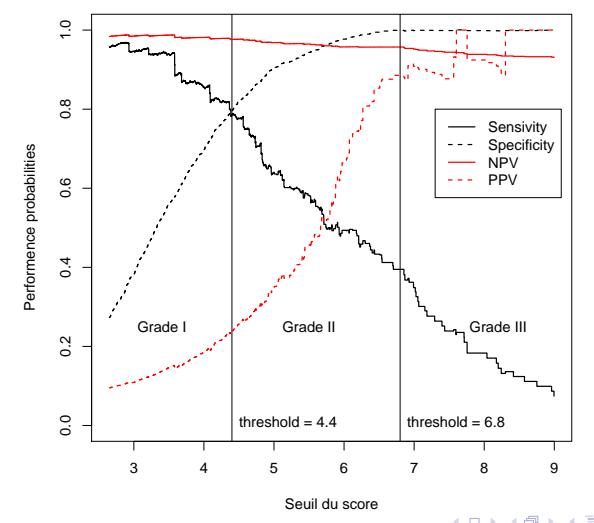
#### Définition du score

$$(n = 1093 patients)$$

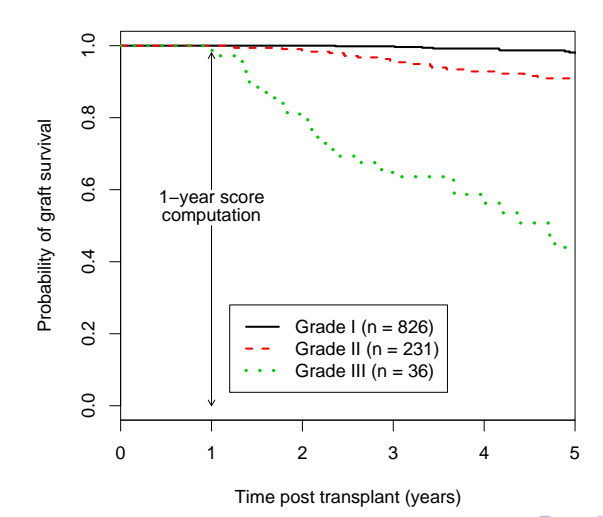
### Capacités pronostiques du score à 5 ans (1)



### Capacités pronostiques du score à 5 ans (2)



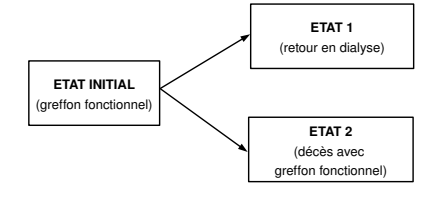
### Capacités pronostiques du score à 5 ans (3)



#### Plan

- 1 Introduction
- 2 Capacité à pronostiquer le retour en dialyse
- 3 Capacité à pronostiquer le retour en dialyse et/ou le décès
- 4 Sélection de gènes pronostiques de la dégradation à partir de puces
- 6 Conclusions

# Courbes ROC temps dépendantes à trois classes (1) Définitions (1)



- T = le temps écoulé entre l'origine et le 1er échec observé X
- X = 1 pour le retour en dialyse et X = 2 pour le décès du patient avec un greffon fonctionnel
- $P_i$  = probabilité que l'échec terminal soit i (i = 1, 2)
- $f_i(t) = \lim_{\Delta t \to 0^+} P(t < T < t + \Delta t | X = i)/\Delta t$
- y la valeur du marqueur pronostique étudié à l'origine

### Courbes ROC temps dépendantes à trois classes (2) Définitions (2)

• Principe semi-markovien :

$$\lambda_i(t|y) = \lambda_{0i}(t) \exp(\beta_i y), \quad i = 1, 2$$

- Soit  $z_i = \beta_i y$ , le score associé à la transition vers l'échec i.
- Soit  $g(z_i)$ , la densité de  $z_i$ .
- Quand  $z_i$  augmente, le risque lié à l'échec i augmente.

| Observations à $t = 0$   | Pronostic                                    |
|--|--|
| $\overline{z_1>c_1(	au)}$ et $z_2\leq c_2(	au)$                                | Passage à l'état $1$ avant $	au$             |
| $z_1>c_1(	au)$ et $z_2>c_2(	au)$   | Passage à l'état 1 ou à l'état 2 avant $	au$ |
| $\mathit{z}_1 \leq \mathit{c}_1(	au)$ et $\mathit{z}_2 \leq \mathit{c}_2(	au)$ | Aucune transition avant $	au$                |
| $z_1 \leq c_1(	au)$ et $z_2 > c_2(	au)$  | Passage à l'état 2 avant $	au$               |

### Courbes ROC et risques compétitifs (3)

#### Indicateurs de la capacité de pronostic de y

• Sensibilité propre à l'événement i :

$$Se_{i}(\tau) = P(z_{i} > c_{i}(\tau)|T \leq \tau, X = i)$$

$$= \int_{c_{i}(\tau)}^{\infty} F_{i}(\tau|z_{i})g(z_{i})dz_{i} / \int_{-\infty}^{\infty} F_{i}(\tau|z_{i})g(z_{i})dz_{i}$$

Sensibilité marginale :

$$Se(\tau) = P(\overline{z_1 > c_1(\tau), z_2 > c_2(\tau)} | T \le \tau)$$

$$= 1 - \left\{ \sum_{i=1}^{2} P_i \int_{-\infty}^{\omega_i} F_i(\tau | z_i) g(z_i) dz_i \right\} / \left\{ \sum_{i=1}^{2} P_i \int_{-\infty}^{\infty} F_i(\tau | z_i) g(z_i) dz_i \right\}$$

où 
$$\omega_1 = \min(c_1(\tau), \gamma^{-1}c_2(\tau))$$
 et  $\omega_2 = \min(\gamma c_1(\tau), c_2(\tau))$  avec  $\gamma = \beta_1/\beta_2 > 0$ .

- Développements similaires pour  $Sp_i$ ,  $VPP_i$  et  $VPN_i$
- On en déduit  $ROC_i(\tau)$ ,  $ROC(\tau)$ ,  $AUC_i(\tau)$  et  $AUC(\tau)$ .

### Courbes ROC et risques compétitifs (4)

#### Estimation des seuils de décision : $\hat{c}_1(\tau)$ et $\hat{c}_2(\tau)$

- Fonction de coût représente la somme des erreurs, issues du pronostic basé sur  $c_1(\tau)$  et  $c_2(\tau)$ , pondérées selon leur importance en pratique :
  - $\phi_p$  = poids des faux positifs et  $\phi_n$  = poids des faux négatifs

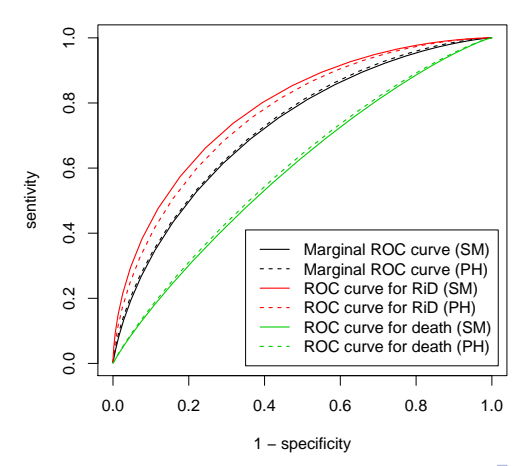
• 
$$\phi_n = 1 - \phi_p = P(T > \tau) = \sum_{i=1}^2 P_i \int_{-\infty}^{\infty} S_i(\tau | z_i) g(z_i) dz_i$$

•  $\phi_i$  poids des erreurs relatives à l'échec i (i = 1, 2)

• 
$$\phi_1 = AUC_1(\tau)$$
 et  $\phi_2 = AUC_2(\tau)$ 

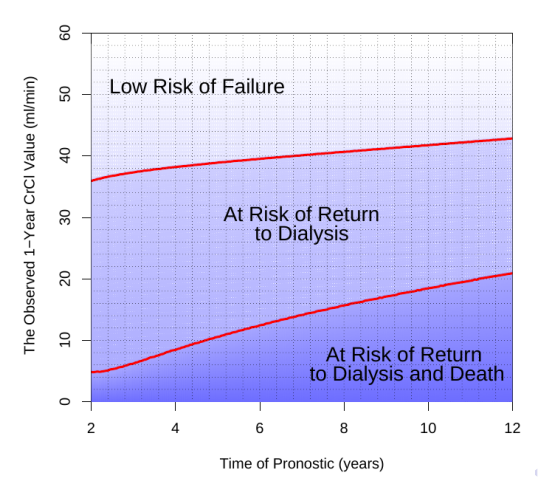
$$\mathcal{C}(\tau) \propto \phi_{P} \Big\{ \phi_{1} \Big( P_{1} \int_{c_{1}(\tau)}^{\infty} S_{1}(\tau|z_{1}) g(z_{1}) dz_{1} + P_{2} \int_{\gamma c_{1}(\tau)}^{\infty} S_{2}(\tau|z_{2}) g(z_{2}) dz_{2} \Big) \\ + \phi_{2} \Big( P_{1} \int_{c_{2}(\tau)/\gamma}^{\infty} S_{1}(\tau|z_{1}) g(z_{1}) dz_{1} + P_{2} \int_{c_{2}(\tau)}^{\infty} S_{2}(\tau|z_{2}) g(z_{2}) dz_{2} \Big) \Big\} \\ + \phi_{n} \Big\{ \sum_{i=1}^{2} \phi_{i} P_{i} \int_{-\infty}^{c_{i}(\tau)} F_{i}(\tau|z_{i}) g(z_{i}) dz_{i} \Big\}$$

## Résultats (1) Courbes ROC à 10 ans



### Résultats (2)

Estimation des seuils de décision selon le temps de pronostic



#### Plan

- Introduction
- 2 Capacité à pronostiquer le retour en dialyse
- 3 Capacité à pronostiquer le retour en dialyse et/ou le décès
- 4 Sélection de gènes pronostiques de la dégradation à partir de puces
- 6 Conclusions

### Problématique (1)

#### Données disponibles

- Cohorte Genhomme composée de 137 patients hyper-stables depuis au moins 5 ans.
- Prélèvements sanguins réalisés à l'inclusion (tous les patients stables).
- Données cliniques issues de DIVAT.
- Données génomiques : Puces ADN "Standford".

Problème : les données sont censurées et tronquées, méthodes de sélection classiques des gènes non-adaptées



### Problématique (2)

#### Méthodes courantes disponibles

- Modèle de Cox (hypothèses PH + linéarité).
- Modèle de vie accélérée (Risque indépendant du temps + linéarité).
- LogRank (définition d'un cut-off par répétition de tests)
- Aucune utilisée dans le cas de troncature.
- Aucune centrée autour de la capacité de pronostic de la molécule.

### Méthodes (1)

Fonction de perte pour le gène ou la protéine i

$$egin{aligned} \mathcal{L}(c_i| au) &= \sqrt{\mathit{se}(c_i| au) + \mathit{sp}(c_i| au)} \ &\downarrow \ &\hat{c}_i &= \mathsf{argmin}_{c_i}\hat{\mathcal{L}}(c_i| au) \ &\downarrow \ &\downarrow \end{aligned}$$

Classement des gènes en fonction de  $\operatorname{argmin}_{c_i} \hat{L}(c_i | \tau)$ 

- Pb : sur-parametrisation des données (overfitting)
- Résultats toujours prometteurs mais décevant ensuite (Rosohoff, Nature Review Cancer, 2004)

### Méthodes (2)

Solutions pour corriger l'overfitting (Molinaro et., Bioinformatics, 2005)

- Division de l'échantillon (apprentissage + validation)
  - Perte d'information et de puissance sur des tailles d'échantillon souvent faibles
- Ré-échantillonnage par Bootstrap
  - Sous-estimation de l'overfitting
- Division + Bootstrap
  - Sur-estimation de l'overfitting
- 0.632 Bootstrap
  - Sous-estimation de l'overfitting
- 0.632+ Bootstrap (Efron et Tibshirani, JASA, 1997)



### Méthodes (3)

Application du 0.632+ Bootstrap à la fonction de perte (1)

B échantillons de bootstrap (b = 1, ..., B) de taille N avec remplacement.

- Les données inclues dans les échantillons de bootstrap permettent d'estimer les cut-offs optimaux c<sub>i</sub>\*,b.
- Ce seuil est appliqué sur les individus non-inclus pour calculer la fonction de perte dans l'échantillon de validation  $\hat{L}_i^{*,-b}(c_i^{*,b}|\tau)$ .
- Ce seuil est aussi appliqué sur tous les individus (quelque soit leur inclusion) pour calculer la fonction de perte dans l'échantillon entier  $\hat{L}_i^*(c_i^{*,b}|\tau)$ .

### Méthodes (4)

Application du 0.632+ Bootstrap à la fonction de perte (2)

$$\overline{L_i^{*,-}} = B^{-1} \sum_{b=1}^{B} \hat{L}_i^{*,-b} (c_i^{*,b} | \tau)$$

$$\overline{L_i^{*}} = B^{-1} \sum_{b=1}^{B} \hat{L}_i^{*} (c_i^{*,b} | \tau)$$

$$\hat{\gamma}_i = (1 - \hat{S}(\infty, \tau)) \times \hat{G}_i(\hat{c}_i) + \hat{S}(\infty, \tau) \times (1 - \hat{G}_i(\hat{c}_i))$$

$$\hat{R}_i = (\overline{L_i^{*,-}} - \overline{L_i^{*}})/(\hat{\gamma}_i - \overline{L_i^{*}})$$

$$\hat{\omega}_i = .632/(1 - .368\hat{R}_i)$$

$$L_i^{.632+} = (1 - \hat{\omega}_i) \overline{L_i^{*}} + \hat{\omega}_i \overline{L_i^{*,-}}$$

#### Plan

- 1 Introduction
- 2 Capacité à pronostiquer le retour en dialyse
- 3 Capacité à pronostiquer le retour en dialyse et/ou le décès
- 4 Sélection de gènes pronostiques de la dégradation à partir de puces
- **5** Conclusions

### Conclusions (1)

#### Synthèse

- Méthode adaptée pour évaluer les performances d'un marqueur à pronostiquer un événement.
  - Un biomarqueur seul.
  - Un score composite (par exemple obtenu à partir du prédicteur linéaire du modèle de Cox).
- Elle permet d'estimer des cut-offs optimaux (fonction de coût, de perte, etc.).
- Elle peut être généralisée au pronostic de plusieurs événements.
- Elle peut être développée pour sélectionner des gènes ou protéines à partir de criblage à haut débit.



### Conclusions (2)

#### Notions méthodologiques importantes

- La corrélation forte d'une variable avec la survie ne veut pas dire que cette dernière est un bon marqueur pronostique.
- Ne pas utiliser les courbes ROC classiques pour des données dépendantes du temps (données incomplètes : censure/troncature).
- Lorsqu'il y a plus de deux classes (que ce soit en pronostic ou en diagnostic), il peut exister des méthodes plus adaptées que le calcul de 3 courbes ROC différentes.
- Les données de puces sont souvent présentées comme des échantillons issus de plusieurs groupes. Attention au protocole lorsqu'il s'agit de pathologies chroniques.
  - A quel moment le prélèvement a été fait (troncature, censure)?
  - Diagnostic / Pronostic

